

## پیش‌بینی پتانسیل سقوط بهمن با استفاده از یک مدل پیش‌بینی عددی

(مطالعه موردي: منطقه شهرستانک، ۲۸-۲۶ دسامبر ۲۰۱۶)

سحر تاج‌بخش<sup>\*</sup> و امیرحسین نیک‌فال<sup>‡</sup>

۱. استادیار، گروه کاوش‌های جوی، پژوهشکده هواشناسی، تهران، ایران

۲. کارشناس هواشناسی، پژوهشکده هواشناسی، تهران، ایران

(دریافت: ۹۶/۹/۱، پذیرش نهایی: ۹۷/۲/۲۵)

### چکیده

بهمن یکی از مهم‌ترین مخاطرات وضع هوا در مناطق کوهستانی و برف‌گیر است و پیش‌بینی صحیح آن در افزایش اینمی جاده‌های کوهستانی نقش مؤثری دارد. از این تحقیق کوشش شده است ضمن بررسی شرایط همیدیدی رخداد بهمن در یک مطالعه موردي، مهم‌ترین شاخص‌های پیش‌بینی پتانسیل رخداد بهمن با استفاده از یک مدل پیش‌بینی عددی برآورد و احتمال رخداد بهمن بر اساس یکی روش‌های کاربردی موجود بررسی شود. مطالعه موردی به گونه‌ای انتخاب شده که شرایط جوی قابل توجهی برای رخداد بهمن در منطقه دیده نمی‌شود و تنها یک مورد سقوط بهمن در طول ۲۴ ساعت در منطقه شهرستانک جاده چالوس گزارش شده است. مهم‌ترین نتایج این بررسی نشان می‌دهد که الگوهای پیش‌بینی همیدیدی وضع هوا در این مطالعه، با شرایط جوی واقعی همخوانی دارد و ویژگی مشخصی برای وقوع بهمن در این الگوها دیده نمی‌شود. آستانه‌های معرفی شده برای پتانسیل وقوع بهمن با رخداد واقعی در این مطالعه همخوانی خوبی دارد. وزش باد کمتر از ۹ m/s بارش برف کمتر از ۳۰ سانتی‌متر در ۲۴ ساعت، افزایش دما کمتر از ۸ °C در ۱۲ ساعت، عدم ماندگاری دما در محدوده ۴-۱۰ °C و آسمان نیمه‌ابری در طول روز بدون بار باران، شرایطی است که بر احتمال رخداد بهمن و نه قطعیت آن (پتانسیل نامشخص وقوع بهمن) تأکید دارد و برای پیش‌بینی پتانسیل بالای وقوع بهمن، آستانه‌های جوی باید بالاتر از مقادیر یاد شده باشند.

واژه‌های کلیدی: بسته برف، ضخامت برف، آب معادل برف، بهمن و مدل پیش‌بینی عددی WRF.

### ۱. مقدمه

بهمن، به جرمی از برف (گاهی همراه با بیخ و سنگ) گفته می‌شود که در حال غلت‌زدن و پایین آمدن از یک سطح شیبدار می‌باشد (انجمان هواشناسی آمریکا، ۲۰۱۵). چگالی برف، آب معادل برف و عمق برف مهم‌ترین ویژگی‌های برف هستند که علاوه بر اندازه‌گیری در ایستگاه‌های برف‌سنگی یا روش‌های سنجش از دور، به کمک مدل‌های ترمودینامیکی مانند مدل بسته برف نیز برآورده می‌شوند (رینن و همکاران، ۲۰۰۸) و کاربرد بنیادی در پیش‌بینی بهمن و سیلاب دارند. این سه عامل نقش مهمی در میزان پوشش برف دارند و هر سه با یکدیگر در ارتباط هستند (آرمسترانگ و بران، ۲۰۱۰). آب معادل برف معرف عمق آبی است که پس از ذوب کامل برف ایجاد می‌شود (انجمان هواشناسی آمریکا،

برخی از پدیده‌های مخاطره‌آمیز وضع هوا در مناطق خاص جغرافیایی رخ می‌دهند که از آن جمله می‌توان به بهمن اشاره کرد. سقوط بهمن در زمستان‌های مناطق کوهستانی ایران محتمل است. از این‌رو، پیش‌بینی پتانسیل سقوط بهمن در جاده‌های کوهستانی و برف‌گیر کشور نقش مؤثری در مدیریت و کنترل جاده‌ها دارد.

برف، به علت کنترل و تبادل فرآیندهای رسانایی و تابش میان سطح زمین و جو، مؤلفه اساسی کرایوسفر (Cryosphere) است (میل و گرانجر، ۱۹۸۱؛ بران و همکاران، ۱۹۸۹؛ گوستافسون و همکاران، ۲۰۰۱). برف شدید، ناشی از عملکرد چرخندهای برون‌حاره‌ای است و بهمن محصولی از پدیده برف است که می‌تواند به علت اثرات گرمایی یا مکانیکی در مناطق کوهستانی رخ دهد.

<sup>\*</sup>نگارنده رابط:

مدل‌های ترمودینامیکی نیز پرداخته شده است (راجر و همکاران، ۲۰۰۱ و ۲۰۰۳). تا جبحش و همکاران نیز در WRF مطالعه‌ای نشان دادند که خروجی پوشش برف مدل با داده‌ای دیدبانی ماهواره‌ای مدیس هم‌خوانی ۶۵ درصدی دارد (تا جبحش و همکاران، ۱۳۹۷). به کارگیری مدل‌های ترمودینامیکی (مانند مدل بسته برف) با استفاده از برنونداد مدل‌های پیش‌بینی عددی، یکی از روش‌های متداول در شبیه‌سازی و پیش‌بینی وقوع بهمن می‌باشد (دوچارم و همکاران، ۲۰۱۵) که در بسیاری از مراکز پیش‌بینی بهمن استفاده می‌شود. اسپانگلر و همکاران در ۲۰۱۵ مدلی برای تعیین پتانسیل وقوع بهمن ارائه کردند که در آن از مدل بسته برف برای بررسی پتانسیل رخداد بهمن استفاده و در مرکز آموزشی COMET, Construction Organizing Membership (Education Training سازمان هواشناسی ایران پیش‌بینی بهمن در پیش‌بینی تهران یا استان‌های مرتبط انجام می‌شود و استفاده از الگوریتم‌ها یا مدل‌های ترمودینامیکی بر اساس برنوندادهای مرتبط مدل‌های عددی (مانند آب معادل برف، ضخامت برف یا پوشش برف و غیره) چندان متداول نیست. ضمن اینکه تا کنون به صورت مشخص روشی برای پیش‌بینی بهمن در کشور ارائه نشده است. از این‌رو در این مطالعه کوشش می‌شود مهم‌ترین شاخص‌های وقوع بهمن به کمک مدل پیش‌بینی عددی (WRF, Weather Research and Forecasting) تعیین و بر اساس روش اسپانگلر و همکاران (مدل بسته برف)، پتانسیل وقوع بهمن در یک مطالعه موردي بررسی شود. به همین منظور در بخش بعد در خصوص روش به کار گرفته شده و سپس داده و اطلاعات مورد استفاده بحث می‌شود. بخش چهارم به تحلیل هم‌دیایی رخداد بهمن و بحث و بررسی ویژگی برنوندادهای مرتبط در مدل پیش‌بینی عددی می‌پردازد و در نهایت در بخش پنجم نتایج حاصل از این بررسی بیان می‌شود.

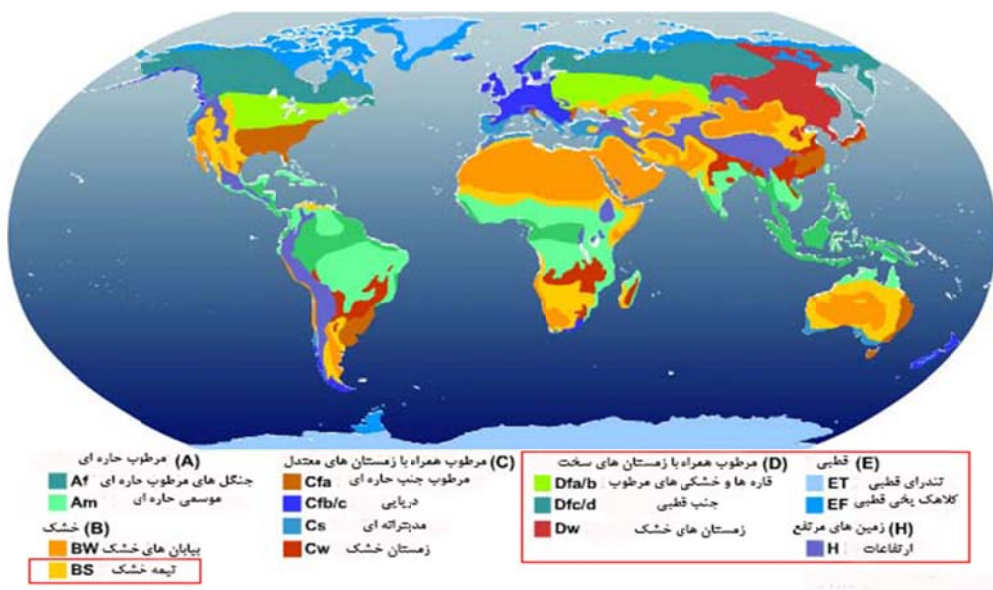
۲۰۱۵). هر چه برف چگال‌تر باشد، آب معادل آن بیشتر است. دما و باد دو عامل بسیار مهم در تغییر چگالی برف هستند. با افزایش سرعت باد، برف چگال‌تر و در نتیجه ارتفاع آب معادل برف بیشتر می‌شود. برای بسیاری از برنامه‌های کاربردی، آب معادل برف، شاخص مهم‌تری از پوشش برف می‌باشد (کامیسو و همکاران، ۲۰۰۳؛ پولیان، ۲۰۰۶). دیدبانی برف تازه (عمق برف)، بهویژه برای پیش‌بینی‌های محلی بهمن، غالباً از اهمیت زیادی برخوردار است (اشرایمر و همکاران، ۲۰۱۱). شاخص‌های عمق، پوشش و آب معادل برف برای مطالعات اقلیمی نیز نقش بسزایی دارند (فری و همکاران، ۲۰۰۵). کاهش آب معادل برف به معنای کاهش بارش یا افزایش ذوب برف می‌باشد (سرکوات و همکاران، ۲۰۱۳) که می‌تواند ناشی از افزایش دمای ناشی از تغییر اقلیم باشد (مارتی و میستر، ۲۰۱۲). برای برآورد ویژگی‌های مهم بهمن از جمله آب معادل برف، از مدل‌های ترمودینامیکی مانند مدل بسته برف (snowpack) (بارتلت و لینینگ، ۲۰۰۲؛ لینینگ و همکاران، ۲۰۰۲) و مدل کروکاس (CROCUS) بهره گرفته شده است (بران و همکاران، ۱۹۸۹ و ۱۹۹۲). در این مدل‌ها، شبیه‌سازی ویژگی‌های بسته برف بر اساس شرایط هواشناختی مانند دما، باد، رطوبت و غیره انجام می‌شود. نتایج بررسی ارزیابی این مدل‌ها از شبیه‌سازی‌های قابل اعتماد برای شاخص‌های مهم برف حکایت دارد (اچورز و همکاران، ۲۰۰۴). منظور از بسته برف، انباست گستره برف در فصل زمستان روی زمین است که در بهار و تابستان ذوب می‌شود (انجمن هواشناسی آمریکا، ۲۰۱۵). بسته برف از لایه‌های برفی تشکیل شده است که در مناطق جغرافیایی مرتفع انباسته شده‌اند و اقلیم آنها شامل دوره‌های هوای سرد بلند مدت در طول سال است. ارزیابی شکل‌گیری و پایداری بسته برف‌ها در مطالعه و پیش‌بینی بهمن بسیار مهم است (کاکس و فولسas، ۲۰۰۳؛ جانجیک، ۱۹۹۴). برای پیش‌بینی بهمن از مدل‌های آماری استفاده می‌شود اما برای بهبود نتایج و مطالعه روش‌های دیگر به بررسی روش‌های عددی با استفاده از

بهمن در رشته‌کوه‌های راکی در منطقه کلرادو ارائه شده است. بر اساس بررسی اسپانگلر و همکاران، شبی ۳۰ تا ۴۵ درجه کوه، اقلیم سرد و خشک و مناطق مرتفع و کوهستانی، پتانسیل بالایی (از دیدگاه اقلیمی) برای رخداد بهمن دارند. از آنجا که در مطالعه حاضر تنها به بررسی بخش سوم یعنی مطالعه پتانسیل بهمن بر اساس اطلاعات پیش‌بینی پرداخته شده است، مطالعه شرایط اقلیمی موضوع بحث این مقاله نیست؛ اما به نظر می‌رسد شرایط اقلیمی منطقه مورد مطالعه (جاده چالوس – منطقه شهرستانک) با شرایط لازم اقلیمی برای رخداد بهمن با پتانسیل بالا مناسب باشد به گونه‌ای که منطقه مورد مطالعه، منطقه‌ای مرتفع با اقلیم کوهستانی است. ارتفاع شهرستانک حدود ۲۲۳۰ متر از تراز دریا می‌باشد و بر اساس تقسیم‌بندی استارم، بسته برف این منطقه، از نوع کم عمق و ضعیف (بر اساس شکل ۱) است. همچنین بر اساس اطلاعات دریافتی از سازمان نقشه‌برداری کشور میانگین شبی رشته‌کوه البرز در محدوده منطقه شهرستانک حدود ۴۱,۵ درجه است. به این ترتیب در یک نگاه کاملاً کیفی، شرایط اقلیمی منطقه مناسب رخداد بهمن با پتانسیل بالاست. با این وجود باید بررسی و مطالعه کمی و دقیق‌تری برای این قسمت انجام شود. اما در بخش پیش‌بینی شرایط وضع هوا برای بررسی پتانسیل رخداد بهمن، جدول‌های ۱، ۲، ۳ و ۴ در روش اسپانگلر و همکاران مطرح شده است که در ادامه به اختصار بررسی می‌شوند. جدول ۱ مؤلفه‌های مرتبط با شاخص بارش را معرفی می‌کند. مقدار برف جدید معرف عمق برف جدید طی یک بازه زمانی مشخص (مثلاً ۲۴ ساعت) می‌باشد. آب معادل برف نیز عمق آب ناشی از ذوب کامل برف را معرفی می‌کند و شاخص روند توفان، بر اساس تغیرات دما در آغاز و پایان توفان تعیین می‌شود که شرح آن در جدول ۱ آمده است. دمای بالا در زمان بارش برف، توفان برف را تضعیف می‌کند و هر میزان بارندگی می‌تواند وزن برف را افزایش داده و سقوط بهمن را محتمل تر سازد.

## ۲. روش پژوهش

در مدل بسته برف، طبقه‌بندی اقلیمی به‌منظور تعیین نوع بسته برف موجود در منطقه و ویژگی‌های آن استفاده می‌شود. شرایط متفاوت اقلیمی موجب می‌شود، در عرض‌های جغرافیایی مشابه، تنها بخشی از کره زمین پوشیده از برف باشد. طرح‌واره‌های متعددی برای طبقه‌بندی اقلیمی جهان استفاده می‌شود که طبقه‌بندی اقلیمی Köppen-Geiger یکی از آنها می‌باشد (شکل ۱). این مدل توسط کوپن، اقلیم‌شناس روسی در سال ۱۸۸۴ معرفی و بعدها توسط گایگر، اقلیم‌شناس آلمانی تصحیح شد (کاتک، ۲۰۱۱).

بر اساس تقسیم‌بندی شکل ۱، دیده می‌شود که رشته‌کوه‌های راکی (محدوده ایالت کلرادو) و رشته‌کوه البرز (منطقه استان البرز) در عرض جغرافیایی و اقلیم تقریباً مشابهی قرار دارند. هر دو معرف زمین‌های مرتفع (رنگ بنفش) با مناطق خشک و نیمه‌خشک (رنگ‌های زرد و نارنجی) در اطراف می‌باشند. استارم و همکاران (۱۹۹۵) از این طبقه‌بندی اقلیمی برای طبقه‌بندی پوشش بسته برف در مقیاس جهانی استفاده نموده‌اند. آنها نشان دادند نوع بسته برف در رشته‌کوه راکی (منطقه کلرادو) از نوع دشت (prairie)، با ژرفای کم و دمای نسبتاً سرد، همراه با وزش باد قابل توجه است که ضخامت بیشینه آن به حدود یک متر می‌رسد. در رشته‌کوه البرز، بسته برف از نوع بی‌دوم صفر تا ۵۰ سانتی‌متر است (استارم و همکاران، ۲۰۱۰). با توجه به این طبقه‌بندی، اسپانگلر و همکاران (۲۰۱۵)، پیش‌بینی پتانسیل رخداد بهمن را بر اساس روشی در سه بخش مرتبط با هم ارائه نمودند. مطالعه شرایط اقلیمی منطقه (از لحاظ شرایط جوی، شبی کوه و غیره)، بررسی وضع هوای حاضر در منطقه (شامل پارامترهای باد، دما و بارش) و پیش‌بینی شاخص‌های مهم هواشناسی در رخداد بهمن، بخش‌هایی هستند که در روش آنها برای پیش‌بینی



شکل ۱. طبقه‌بندی اقلیم‌های مختلف در مقیاس جهانی (گایگر، ۲۰۱۱).

جدول ۱. شاخص‌های مرتبط با بارش برای بررسی پتانسیل رخداد بهمن.

ردیف	شاخص بارش	پتانسیل بالا برای رخداد بهمن	پتانسیل نامشخص برای رخداد بهمن	پتانسیل کم برای رخداد بهمن
۱	مقدار برف تازه	۲۴ h	۳۰ سانتی‌متر یا بیشتر در ۲۴ h	برف تازه نباریده است
۲	آب معادل برف	۲۵ میلی‌متر/میلی‌متر یا بیشتر در ۲۴ h	کمتر از ۲۵ میلی‌متر در ۲۴ h	آب معادل برف تازه موجود نیست
۳	رونده توفان	شروع سرد و پایان گرم	شروع گرم و پایان سرد	-۷ °C دما در محدوده -۳ تا -۷ °C
۴	باران	رخداد هر نوع باران	بدون بارش باران	بدون بارش باران

بیشتر می‌شود. با پایش مدادوم دما می‌توان دماهای گرم‌تر از انجماد را برای دوره‌های زمانی بیش از ۲۴ ساعت تعیین نمود. در این شرایط احتمال رخداد بهمن افزایش می‌یابد و بر عکس، با کاهش دما، پایداری برف بیشتر و احتمال سقوط بهمن کاهش می‌یابد. جدول ۲ شرایط پتانسیل سقوط بهمن را بر اساس شاخص دما نشان می‌دهد.

افزایش دما تا ۱۰ °C یا بیشتر در طول روز، بهویژه هنگامی که دمای هوا در نزدیکی انجماد باشد، می‌تواند به سرعت موجب نشت برف و رخداد بهمن شود. آهنگ تند افزایش دما بسته برف را بهشت نپایدار می‌کند. باید توجه داشت هنگامی که بعد از یک گرمایش، هوا سرد شود یا دمای هوا چندین روز متوالی در محدوده انجماد باشد، پایداری برف

جدول ۲. شاخص‌های مرتبط با دما برای بررسی پتانسیل رخداد بهمن.

ردیف	شاخص دما	پتانسیل بالا برای رخداد بهمن	پتانسیل نامشخص برای رخداد بهمن	پتانسیل کم برای رخداد بهمن
۱	افزایش دما	افزایش بیش از ۸ °C در ۱۲ h در دماهای نزدیک و کمی بالای ۰ °C صفر	افزایش کمتر از ۸ °C در ۱۲ h در دماهای نزدیک و کمی کمتر از ۰ °C صفر	افزایش تدریجی دما طی چند روز (زیر ۰ °C صفر)
۲	کاهش دما	-	-	ماندگاری دما بین -۴ °C تا -۱۰ °C
۳	دماهای گرم	بالای دمای یخبندان برای بیشتر از ۲۴ h	بالای دمای یخبندان برای ۱۲ h	-
۴	دماهای سرد	دماهای بسیار سرد (کمتر از -۱۰ °C)	ماندگاری دما بین -۴ °C تا -۱۰ °C	-

توجه به اقیم‌های تقریباً مشابه در دو منطقه کلرادو و البرز بر اساس شکل ۱، به نظر می‌رسد امکان استفاده از این آستانه‌ها برای منطقه البرز نیز وجود داشته باشد که در ادامه بررسی می‌شود. به‌این ترتیب، در این مطالعه با هدف امکان استفاده از برونداد مدل‌های پیش‌بینی عددی برای بررسی پتانسیل بهمن، بخش سوم روش اسپانگلر (پیش‌بینی پتانسیل وقوع بهمن) به‌منظور دسترسی به حدس اولیه در رخداد پتانسیل بهمن در مناطق کوهستانی کشور بررسی شده است که شامل جدول‌های ۱ تا ۴ می‌باشد.

### ۳. اندازه‌گیری، مشاهده و شبیه‌سازی

این مطالعه در بازه زمانی ۲۶ تا ۲۸ دسامبر ۲۰۱۶ انجام شده است که در بعد از ظهر روز ۲۷ دسامبر، وقوع یک نوبت سقوط بهمن در منطقه شهرستانک جاده چالوس گزارش شده و به دنبال آن بهمن دیگری رخ نداده است. از این‌رو، شرایط وضع هوا برای ریزش‌های متواتی بهمن چندان مساعد نبوده است. منطقه شهرستانک ( $N = ۳۶^{\circ} ۱۰' E = ۵۱^{\circ} ۳۱'$ ) در جاده چالوس واقع شده و ارتفاع منطقه ۲۲۳۰ تا ۲۲۴۰ متر می‌باشد و در استان البرز واقع شده است (شکل ۲).

اطلاعات مربوط به سرعت باد در یک دوره ۲۴ ساعته و تعیین سرعت‌های میانگین ۹ تا ۲۷ متر بر ثانیه برای شناسایی پتانسیل بالای وقوع بهمن مناسب است. باید توجه داشت اگر برف تازه یا کمتر از ۰°C روی زمین وجود داشته باشد، می‌تواند به راحتی توسط باد جابه‌جا شود. بررسی داده‌های جهت باد برای یک دوره ۲۴ ساعته و دقیقت در مدت زمانی جهت‌های وزش باد و تمرکز بر جهت‌هایی که در دوره‌های طولانی‌تر وزیده شده‌اند بسیار مهم است. جدول ۳ شرایط تحلیل این شاخص را نشان می‌دهد.

پوشش ابر هم‌مقدار تابش سرمایشی شبانه و هم‌مقدار تابش خورشیدی روزانه را تحت تأثیر قرار می‌دهد. شب‌های سرد و بدون ابر، به‌ویژه هنگامی که دمای بسیار سرد برای چند شب پاکی بماند، با سرمایش تابشی سریع همراه می‌شوند و می‌توانند لایه‌های ضعیف را در بسته برف ایجاد کند. حتی لایه‌های نازک ابرهای بالا نیز می‌توانند در شب مانع سرمایش تابشی شوند.

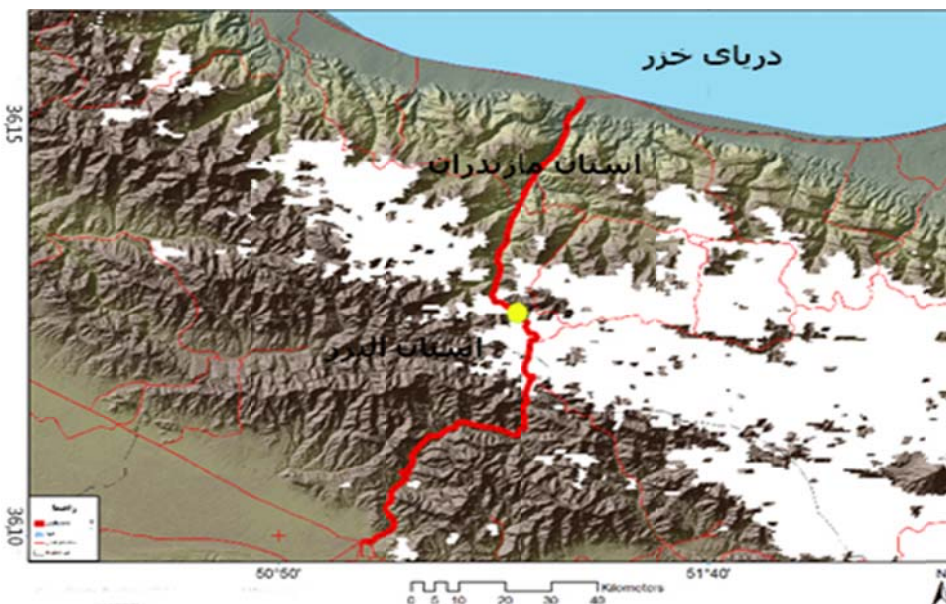
آستانه‌های شاخص‌های هواشناسی مرتبط با پتانسیل وقوع بهمن در جدول‌های بالا برای منطقه کلرادو می‌باشد. با

جدول ۳. شاخص‌های مرتبط با باد برای بررسی پتانسیل رخداد بهمن

ردیف	شاخص باد	پتانسیل بالا برای رخداد بهمن	پتانسیل نامشخص برای رخداد بهمن	پتانسیل کم برای رخداد بهمن
۱	میانگین سرعت باد	۹ تا ۲۷ متر بر ثانیه	کمتر از ۹ یا بیشتر از ۲۷ متر بر ثانیه	آرام و کمتر از ۷ متر بر ثانیه
۲	میانگین سمت باد	ثابت	متغیر	متغیر

جدول ۴. شاخص‌های مرتبط با پوشش ابر برای بررسی پتانسیل رخداد بهمن

ردیف	شاخص پوشش ابر / تابش خورشید	پتانسیل بالا	پتانسیل نامشخص	پتانسیل کم
۱	پوشش آسمان در شب	آسمان صاف با دمای بیش از $-10^{\circ}\text{C}$ و $m/s \geq 5$ بادهای کمتر از $5\text{ m/s}$	آبری آسمان صاف با دماهای نسبتاً خوب نیمه‌آبری همراه با بادهای کمتر از $5\text{ m/s}$	-
۲	پوشش آسمان در روز	آسمان‌های صاف یا ابرهای نازک با دماهای گرم به‌ویژه در شب‌های رو به خورشید	تمام ابری ضخیم	-



شکل ۲. موقعیت جغرافیایی منطقه مورد مطالعه- خط تپر قرمز جاده چالوس و نقطه زرد محدوده شهرستانک را نشان می دهد.

European Centre for Medium-Range Weather Forecasts توسعه داده شده است. این داده ها در بازه زمانی ۱ ژانویه ۱۹۸۹ به بعد تا نزدیک به زمان واقعی در دسترس هستند. محصولات ERA-Interim به صورت شبکه ای از داده ها، در گیرنده گستره وسیعی از پارامترهای هواشناسی در سطح زمین با گام زمانی ۳ ساعته و پارامترهای ترازهای بالایی جو با گام زمانی ۶ ساعته است که شامل شرایط ورد سپهر و پوشن سپهر، امواج آقیانوسی و ویژگی های سطحی است (دی و همکاران، ۲۰۱۱). در این بررسی الگوهای فشار تراز دریا و ضخامت ۱۰۰۰/۵۰۰ هکتو پاسکال، ارتفاع ژئوپتانسیل و دمای تراز ۵۰۰ هکتو پاسکال همراه با تاوایی نسبی این تراز، سرعت قائم باد در تراز ۷۰۰ هکتو پاسکال و همچنین رطوبت نسبی و باد تراز ۸۵۰ هکتو پاسکال به منظور شناسایی شرایط جوی ریزش بهمن از ابتدا تا انتهای رخداد، مورد مطالعه قرار گرفته است. در این پژوهش، همچنین، با استفاده از نسخه ۳,۹ مدل عددی میان مقیاس WRF، شبیه سازی پارامترهای جوی از تاریخ ۲۶ تا ۲۹ دسامبر ۲۰۱۶ به مدت چهار روز انجام گرفت. اجرای مدل، برای روز ۲۵ دسامبر ساعت ۱۲ UTC تا روز ۲۹ دسامبر ساعت

شرایط جوی با بارش برف سنگین، وقوع بارش باران پس از برف یا افزایش دمای قابل توجه پس از بارش برف شدید، امکان رخداد بهمن را برای کاربران غیر تخصصی نیز امکان پذیر می سازد. با انتخاب مطالعه موردی یاد شده، در واقع، کوشش شده است آستانه های معرفی شده در جدول های ۱ تا ۴ بند ۲، برای شرایطی آزمون شوند که رخداد بهمن چندان قابل پیش بینی نباشد. به همین منظور ابتدا در بند سوم به بررسی شرایط همدیدی منطقه در مطالعه موردی پرداخته می شود و سپس شاخص های رخداد بهمن بررسی می شوند.

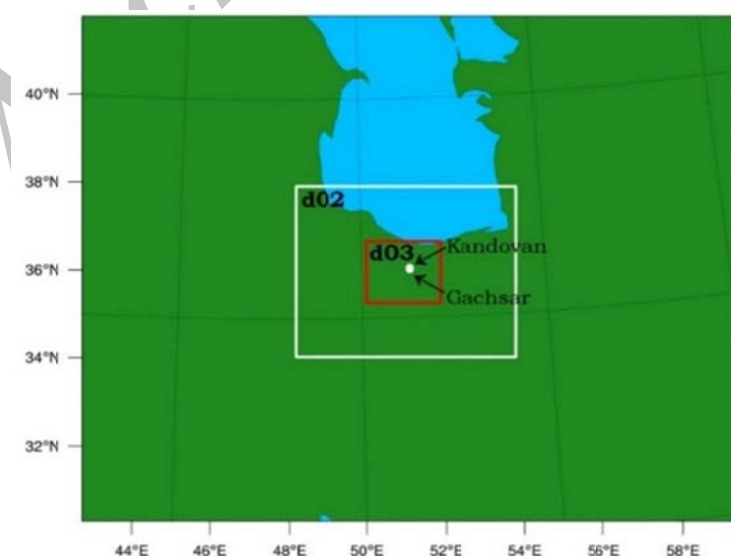
در تحلیل همدیدی، با توجه به ارتفاع کوه های منطقه مورد مطالعه، بررسی نقشه های جو بالا در ترازهای ۳۰۰۰ و ۸۵۰ هکتو پاسکال (تقریباً معادل ۱۵۰۰ تا ۵۰۰ متر) ارزیابی می شود. الگوهای فشار تراز دریا و ۵۰۰ هکتو پاسکال نیز به منظور بررسی شرایط جوی حاکم، در نظر گرفته شده اند. بررسی شرایط همدیدی با استفاده از داده های ERA-Interim در گام زمانی ۶ ساعته انجام شده است. داده های ERA-Interim داده های باز تحلیل جوی در مقیاس جهانی است که توسط مرکز اروپایی پیش بینی های میان مدت (ECMWF-

طول موج بلند انجام می‌دهد (ملاور و همکاران، ۱۹۹۷). برای مدل‌سازی طول موج کوتاه، از نسخه تغییریافته طرح‌واره RRTMG به نام RRTMG با قابلیت شبیه‌سازی تغییرات توده‌های ابر با مقیاس کمتر از تفکیک مکانی شبکه‌ای استفاده شد (لاکونو و همکاران، ۲۰۰۸). طرح‌واره Mellor-Yamada-Janjic به عنوان یک طرح‌واره پیش‌بینی یک‌بعدی برای انرژی جنبشی تلاطمی با در نظر گرفتن شار قائم محلی مدل‌سازی لایه‌مرزی سیاره‌ای استفاده گردید. برای لایه سطحی از مدل ETA و بر پایه طول زبری مونین-اویوخوف و توابع استاندارد مربوط به نظریه شباهت استفاده شد (یانیچ و همکاران، ۲۰۰۲). مدل سطح زمین National Oceanic and Atmospheric Administration - NOAA با در نظر گرفتن دما و رطوبت خاک در چهار لایه، پوشش برف و فیزیک خاک در دماهای انجماد برای فیزیک سطح زمین استفاده شد (تواری و همکاران، ۲۰۰۴).

حوزه‌های شبیه‌سازی برای اجرای مدل WRF به صورت سه حوزه تو در تو آمده شدند (شکل ۳). دقت تفکیک مکانی برای این سه حوزه به ترتیب ۱۸ کیلومتر برای حوزه اصلی، ۶ کیلومتر برای حوزه دوم و ۲ کیلومتر برای حوزه سوم انتخاب شدند.

spin up UTC<sup>۰۰</sup> انجام شده و با لحظه نمودن ۱۲ ساعت اطلاعات از روز ۲۶ دسامبر ساعت ۰۰ UTC در نظر گرفته شده است. داده‌های مورد نظر از برای شرایط مرزی و اولیه جوی از داده‌های پیش‌بینی GFS با تفکیک افقی  $0.5^{\circ}$  که از محصولات مرکز ملی پیش‌بینی محیطی (NCEP-National Centers for Environmental Prediction) در ایالات متحده است، استفاده شده است. برخی از مهم‌ترین طرح‌واره‌های انتخاب شده برای بخش فیزیکی مدل WRF در شبیه‌سازی‌های عددی بارش برف به عنوان یک پارامتر جوی کوچک‌مقیاس، به شرح زیر می‌باشند:

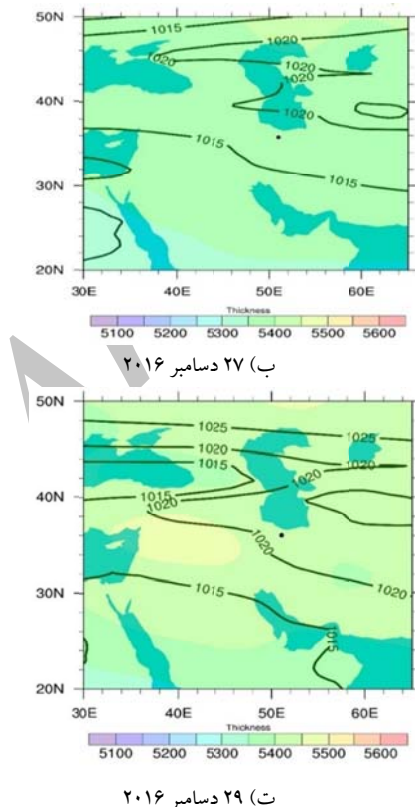
طرح‌واره تامسون برای شبیه‌سازی فرآیندهای میکروفیزیکی ابر، یک طرح‌واره جدید است که فرآیندهای مرتبط با بیخ، برف و گویچه‌برف را شبیه‌سازی نموده و برای مدل‌سازی جوی با تفکیک مکانی بالا مناسب است (تامسون و همکاران، ۲۰۰۸). طرح‌واره پارامترسازی کومولوسی، طرح‌واره Tiedtke با شبیه‌سازی شار جرمی، انواع فرارفت‌های عمیق و نیمه‌عمیق در جو را وارد فرآیند مدل‌سازی می‌کند (تیک، ۱۹۸۹). طرح‌واره RRTM به عنوان طرح‌واره طول موج بلند، یک مدل تابشی دقیق و سریع است که محاسبه شارها و آهنگ کاهش دما را در



شکل ۳. حوزه شبیه‌سازی اصلی و زیر حوزه‌ها به صورت تو در تو به همراه موقعیت شهرهای کندوان و گچسر.

همراه با رطوبت نسبی، باد و دما در تراز ۸۵۰ هکتوپاسکال در این بررسی مطالعه شده‌اند که در ادامه به بررسی آنها پرداخته می‌شود.

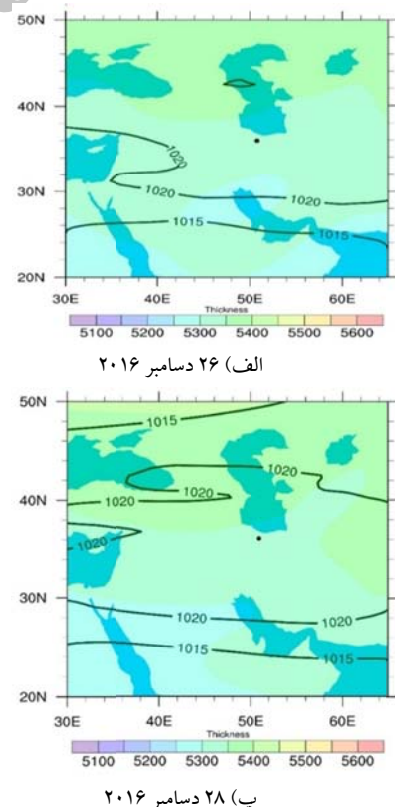
الگوهای فشار تراز میانگین دریا در روز ۲۶ دسامبر گرادیان فشاری بسیار ضعیفی را در نیمه شمالی کشور نشان می‌دهد که به تدریج در حال تقویت شدن است (شکل ۴-الف). این وضعیت برای ۲۴ ساعت بعد، افزایش فشار را در منطقه نشان می‌دهد و زبانه‌ی هم‌فشار ۱۰۱۸ هکتوپاسکال در منطقه مورد مطالعه مستقر شده است (شکل ۴-ب). این شرایط برای روز ۲۸ دسامبر همچنان ادامه دارد و فشار در منطقه البرز به بیش از ۱۰۲۰ هکتوپاسکال می‌رسد. در روز ۲۹ دسامبر نیز افزایش نسبی گرادیان فشار در نیمه شمالی کشور دیده می‌شود (شکل ۴-د). تغییر در الگوهای ضخامت روزهای ۲۶ تا ۲۹ دسامبر، بین ۵۲۰۰ تا ۵۳۰۰ متر ژئوپتانسیل متغیر است.



شاخص‌های آب معادل برف و ضخامت برف مهم‌ترین بروونددهای مدل پیش‌بینی عددی برای شبیه‌سازی بر اساس روش ارائه شده در بند بالا می‌باشند که در این مطالعه برای بازه زمانی منتخب و در منطقه مورد مطالعه یاد شده، تهیه شده‌اند.

#### ۴. بحث و نتایج

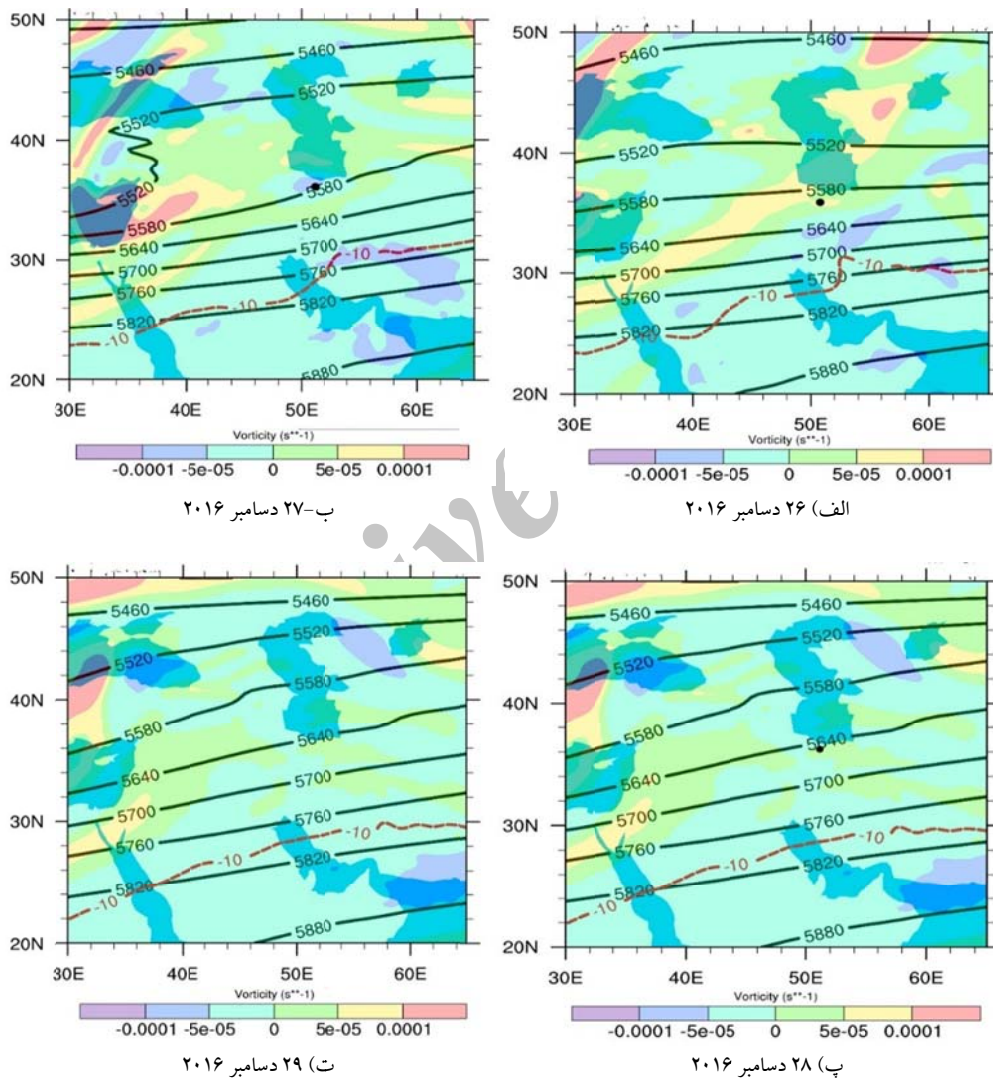
رخداد بهمن در مطالعه موردنی منتخب، روز ۲۷ دسامبر ۲۰۱۶ گزارش شده است. برای بررسی همدیدی این مطالعه موردنی، مدل WRF برای بازه ۲۶ تا ۲۹ دسامبر ERA-Interim اجرا شده است. در این بررسی از داده‌های ERA-Interim با گام زمانی ۳ ساعته استفاده و به صورت روزانه، میانگین گیری شده است. پارامتر میانگین فشار در تراز دریا و ضخامت ژئوپتانسیل همراه با توابع نسبی تراز ۵۰۰ هکتوپاسکال، ارتفاع ژئوپتانسیل و سرعت قائم باد در تراز ۷۰۰ هکتوپاسکال و ارتفاع ژئوپتانسیل



شکل ۴. الگوی فشار میانگین تراز دریا بر حسب hPa (خطوط توپر) و ضخامت متر (نواحی سایه زده شده) روزهای ۲۶ تا ۲۹ دسامبر ۲۰۱۶. نقطه توپر سیاه موقعیت شهرستانک می‌باشد.

شده است تا ارتفاع این تراز در منطقه افزایش نیافته و همچنان ۵۵۸۰ ژئوپتانسیل متر باشد. در این روز تاوایی نسبی حدود صفر است (شکل ۵-ب). طی روزهای ۲۸ و ۲۹ دسامبر نیز روند افزایش ارتفاع روی کشور دیده می‌شود. از این‌رو به نظر می‌رسد در لایه‌های بالایی جو شرایط برای ایجاد ناپایداری مناسب نیست (شکل‌های ۵-ج و ۵-ت).

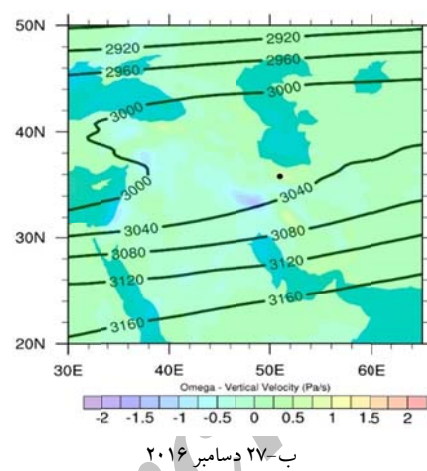
در نقشه تراز ۵۰۰ هکتو پاسکال روز ۲۶ دسامبر ۲۰۱۶ زیانه ارتفاع زیاد ضعیفی روی دریای سیاه شکل گرفته است (شکل ۵-الف). تاوایی نسبی در این روز حدود  $5 \times 10^{-5} s^{-1}$  است. در روز ۲۷ دسامبر موج ضعیفی در غرب دریای مدیترانه شکل گرفته است و در حال نزدیک شدن به شمال غرب ایران می‌باشد. این شرایط موجب



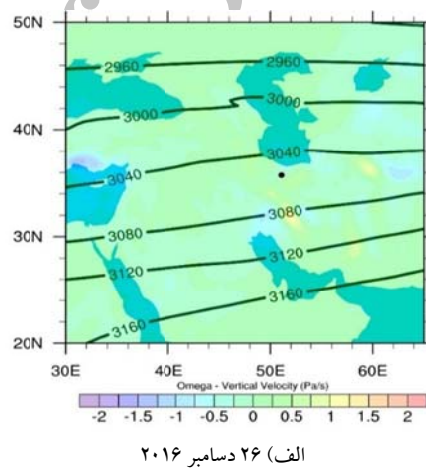
شکل ۵. الگوی ارتفاع ژئوپتانسیل سطح ۵۰۰ mb بر حسب متر (خطوط توپر سیاه)، دما بر حسب درجه سلسیوس (خط چین قرمز) و تاوایی نسبی بر حسب بر تانیه (مناطق سایه زده شده) تراز ۵۰۰ هکتوپاسکال روزهای ۲۶ تا ۲۹ دسامبر ۲۰۱۶. نقطه تو پر سیاه موقعیت شهرستانک می‌باشد.

طول موج کوتاه به سمت ایران امکان پذیر می‌باشد. این شرایط، با افت ارتفاع در تراز ۷۰۰ میلی بار همراه است به گونه‌ای که ارتفاع در منطقه شهرستانک حدود ۲۰ ژئوپتانسیل متر کاهش یافته است. در این روز سرعت قائم حدود ۱ پاسکال بر ثانیه است (شکل ۶-ب). با عبور موج یاد شده، دوباره ارتفاع زیاد بر منطقه حاکم می‌شود و ارتفاع تراز ۵۰۰ هکتوپاسکال در شهرستانک به بیشتر از ۳۰۴۰ ژئوپتانسیل متر می‌رسد. سرعت قائم در این روز تغییری نسبت به ۲۴ ساعت گذشته ندارد (شکل ۶-پ). در روز ۲۹ دسامبر نیز روند افزایش ارتفاع همچنان ادامه دارد و به مقدار ۳۰۸۰ ژئوپتانسیل متر می‌رسد (شکل ۶-ت).

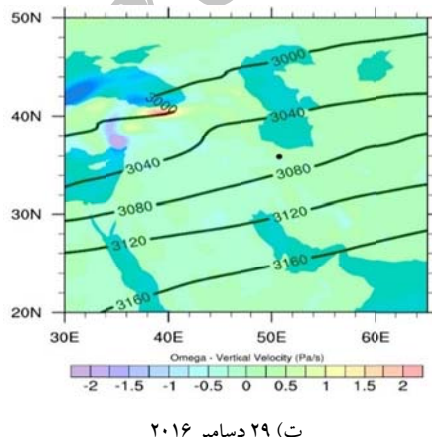
در تراز ۷۰۰ هکتوپاسکال، شرایط جوی تقریباً مشابه تراز ۵۰۰ هکتوپاسکال است. در روز ۲۶ دسامبر زبانه‌های ارتفاع زیاد روی کشور دیده می‌شود. ارتفاع این تراز در منطقه مورد مطالعه بیشتر از ۳۰۴۰ ژئوپتانسیل متر می‌باشد. ضمن اینکه سرعت قائم قابل توجه نیست (شکل ۶-الف)، با شکل گیری تدریجی موجی در شرق دریای مدیترانه، امواج کوتاه به نوار شمالی ایران ارسال می‌شوند. در این روز پریند ۳۰۷۵ ژئوپتانسیل متر از روی منطقه البرز عبور نموده است. الگوی دما نیز نفوذ ناوه هوای سردی را از غرب ایران نشان می‌دهد و هم دمای ۲۷۰/۵ درجه (شکل ۶-الف). در روز بیست و هفت دسامبر، کم ارتفاع عمیقی در شرق مدیترانه کاملاً شکل گرفته است و ارسال امواج با



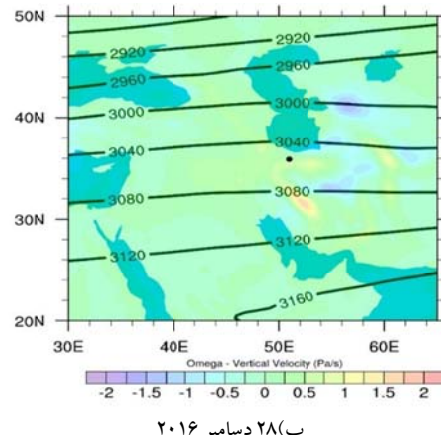
ب) ۲۰ دسامبر ۲۰۱۶



الف) ۲۶ دسامبر ۲۰۱۶



ت) ۲۹ دسامبر ۲۰۱۶

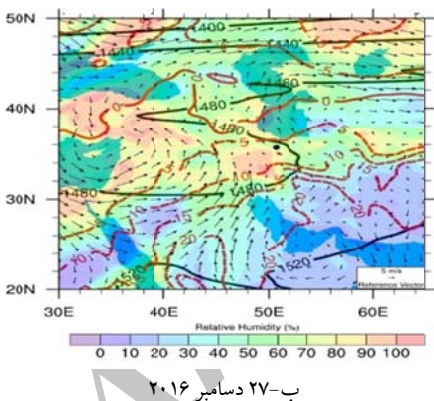


پ) ۲۸ دسامبر ۲۰۱۶

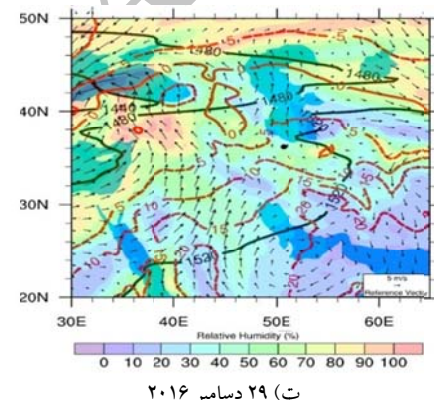
شکل ۶. الگوی ارتفاع ژئوپتانسیل سطح ۷۰۰ mb بر حسب متر (خطوط توپر سیاه) و سرعت قائم برحسب پاسکال بر ثانیه (مناطق سایه زده شده تراز ۷۰۰ هکتوپاسکال روزهای ۲۶ تا ۲۹ دسامبر ۲۰۱۶). نقطه تو پر سیاه موقعیت شهرستانک می‌باشد.

نهم دسامبر سرعت و جهت بادها تغییر یافته و بادهای جنوبی ضعیف در منطقه حاکم می‌شود (شکل ۷).

الگوی آب معادل برف در شکل ۸ آمده است. مقادیر آب معادل برف بر حسب  $\text{kg/m}^2$  می‌باشد که با فرض  $=1000 \text{ kg/m}^3$ ، می‌توان مقادیر عددی این شاخص را معادل مقدار آن بر حسب میلی‌متر در نظر گرفت. همان‌گونه که در شکل ۸ دیده می‌شود، مقدار آب معادل برف روز ۲۶ دسامبر به طور میانگین ۳۰ تا ۴۵ میلی‌متر برآورد شده است که این مقدار به علت بارش برف جدید و تخمین آن به صورت تجمعی، به تدریج افزایش یافته است به گونه‌ای که برای روز ۲۷ دسامبر مقدار آن به ۴۵ تا ۶۰ میلی‌متر در منطقه مورد مطالعه (محدوه‌ی شهرستانک در جاده چالوس) رسیده است و تا روز بیست و هشتم تغییر خاصی در آن دیده نمی‌شود (شکل ۸).

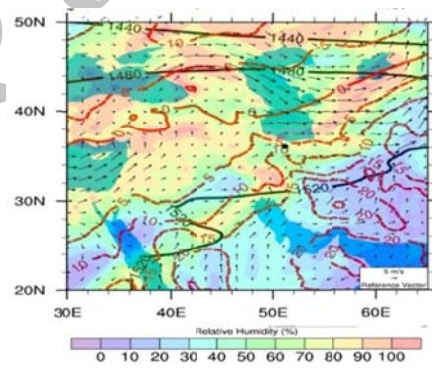


ب) ۲۰۱۶ دسامبر ۲۷

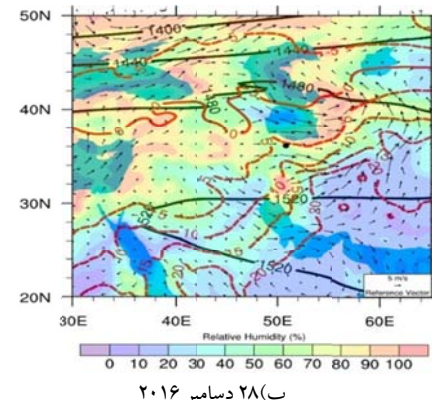


ت) ۲۰۱۶ دسامبر ۲۹

تراز ۸۵۰ هکتوپاسکال در روز ۲۶ دسامبر استقرار زبانه ارتفاع زیاد را در نیمه جنوبی کشور نشان می‌دهد که منطقه شهرستانک رشته‌کوه البرز را هم پوشش داده است. پربند ۱۵۰۰ ژئوپتانسیل متر در این روز از منطقه عبور کرده است. الگوهای دمایی عبور ناوه دما را در نوار شمالی نمایش می‌دهد که با گذر هم‌دامای  $5^\circ\text{C}$  در منطقه مورد مطالعه همراهی شده است. جهت بادها غربی است (شکل ۷-الف). الگوی بادها شکل‌گیری مرکز کم ارتفاع فعالی در شرق مدیترانه در روز ۲۷ دسامبر نشان می‌دهد در این روز منطقه مورد مطالعه شهرستانک، در دامنه ناوه این تراز قرار دارد. رطوبت نسبی در این روز به ۸۰ درصد می‌رسد. (شکل ۷-ب). با عبور ناوه یاد شده در روز ۲۸ دسامبر از منطقه، بادهای غربی با سرعت بیشتری حاکم شده و رطوبت به بیش از ۹۰ درصد افزایش می‌یابد (شکل ۷-پ). برای روز بیست و

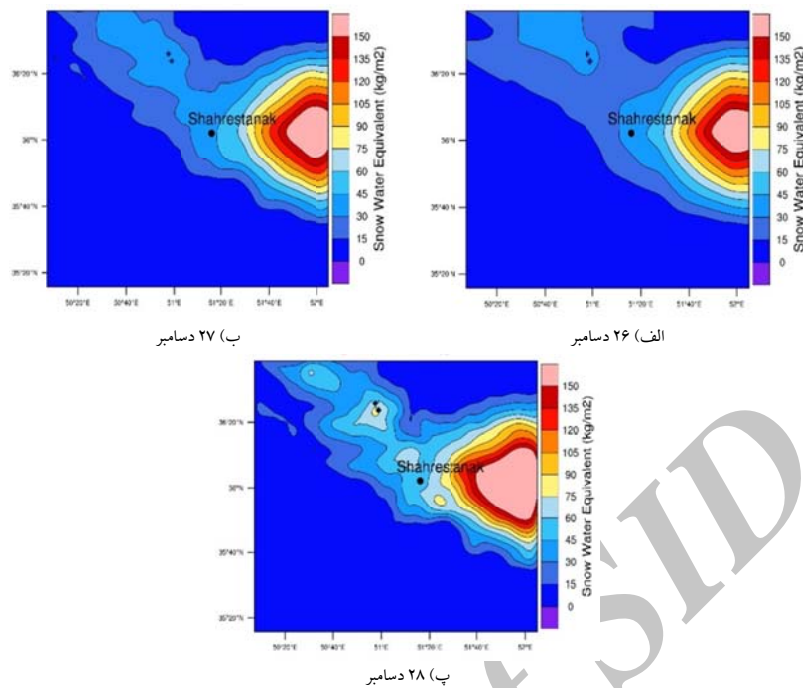


الف) ۲۰۱۶ دسامبر ۲۶



پ) ۲۰۱۶ دسامبر ۲۸

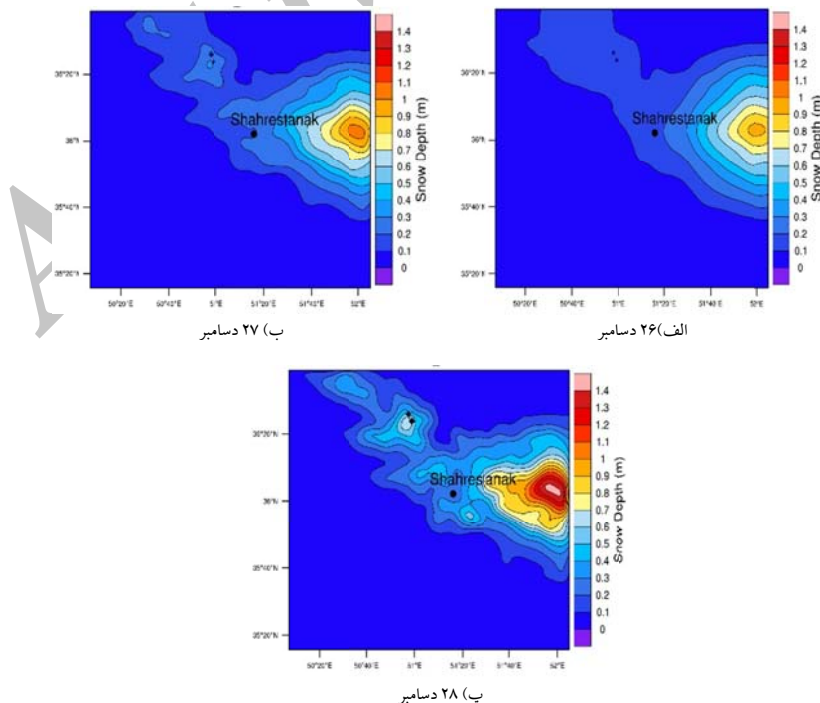
شکل ۷. الگوی ارتفاع ژئوپتانسیل سطح  $850 \text{ mb}$  بر حسب متراحت (خطوط توپر سیاه)، دما بر حسب درجه سلسیوس (خط‌چین قرمز) و رطوبت نسبی بر حسب درصد (مناطق سایه زده شده) تراز ۸۵۰ هکتوپاسکال روزهای ۲۶ دسامبر ۲۰۱۶ تا ۲۹ دسامبر ۲۰۱۶ همکنون پذیرفته شده‌اند.



**شكل ٨** الگوی میانگین روزانه آب معادل برف بر حسب  $\text{kg/m}^2$

بعدی، مقدار آن به ۳۰ سانتی‌متر افزایش یافته است (شکل ۹-ب). روز بیست و هشتم دسامبر میانگین این ساختم در منطقه شهرستانک تغییری نداشته است (شکل ۹-پ).

مقادیر شاخص ضخامت برف نیز مشابه الگوی  
شکل ۹ رفتار نموده است به گونه‌ای که مقادیر عددی  
این شاخص در روز ۲۶ دسامبر بین ۱۰ تا ۲۰ سانتی‌متر  
پیش‌بینی شده (شکل ۹-الف) و طی ۲۴ ساعت



شكل ٩. الگوی میانگین روزانه ضخامت برف بر حسب متر.

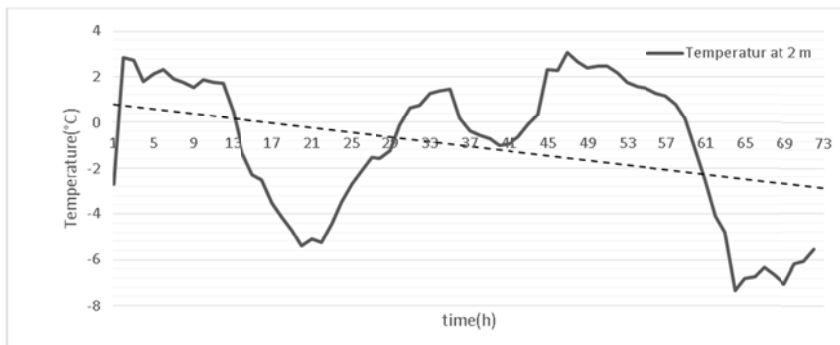
(روز رخداد بهمن) به جز ۵ ساعت (ساعت‌های ۱۲ تا ۱۵ روز بیست و هفتم) بالاتر از دمای یخ‌بندان بود. این شرایط از ساعت ۶، روز بیست و هفتم تا ۱۲ روز بیست و هشتم دسامبر دیده شده است که با لحاظ نمودن ۵ ساعت ریز صفر، ۲۴ ساعت می‌باشد. از این‌رو به نظر می‌رسد این شرایط به سقوط بهمن کمک نموده است. بنابراین بر اساس جدول ۲، ردیف‌های اول و سوم در این مطالعه برای پتانسیل نامشخص رخداد بهمن مناسب است. همچنین در ردیف دوم شرایط ماندگاری دما در دماهای کمتر از  $-4^{\circ}\text{C}$  نیز وجود ندارد. از این‌رو، در این ردیف نیز شاخص پتانسیل نامشخص رخداد بهمن وجود دارد. در این مطالعه موردی، بر اساس خروجی‌های مدل پیش‌بینی عددی WRF، ماندگاری در دماهای خیلی سرد تجربه نشده است.

مقادیر پیش‌بینی باد ۱۰ متری به عنوان شاخص جدول ۳ نیز برای روزهای ۲۶ تا ۲۹ دسامبر ۲۰۱۶ در شکل ۱۱ آمده است. همان‌گونه که در این شکل دیده می‌شود، این شاخص طی روزهای مورد مطالعه، کمتر از ۷ متر بر ثانیه می‌باشد. لذا به نظر می‌رسد عامل باد تأثیری در رخداد بهمن در این مطالعه نداشته است.

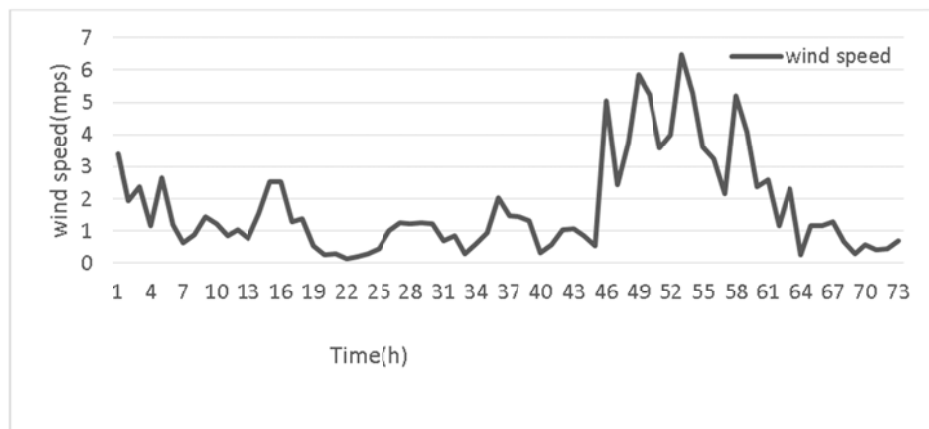
پوشش ابر شاخص مهم دیگری است که تابش شبانه و روزانه را تحت تأثیر قرار می‌دهد. شب‌های سرد و بدون ابر با دمای بسیار پایین برای مدت چند شب، لایه‌های برف روی زمین را تضعیف می‌کند. پوشش ابر پایین (تراز ۷۰۰ هکتو پاسکال) به صورت میانگین روزانه برای روزهای مورد مطالعه به شرح شکل ۱۲ می‌باشد.

به این ترتیب شاخص‌های آب معادل برف و ضخامت برف در بازه ۲۴ ساعت ۲۶ تا ۲۷ دسامبر، به ترتیب ۱۰ سانتی‌متر و بیش از ۲۵ میلی‌متر افزایش یافته است از این‌رو ردیف‌های ۱ و ۲ جدول ۱ (مریبوط به شاخص‌های بارش) بر اساس پیش‌بینی مدل WRF، به ترتیب معرف پتانسیل نامشخص و پتانسیل بالا برای رخداد بهمن هستند. روند توفان (تغییرات دمایی توفان از شروع تا خاتمه آن) که در ردیف ۳ جدول ۱ آمده است، معرف تغییرات دمایی در روز ۲۷ دسامبر می‌باشد. با توجه به اینکه ریزش بهمن در بعد از ظهر روز بیست و هفتم گزارش شده است، تغییرات دما بر اساس نمودار شکل ۱۱، نشان‌دهنده‌ی شروع سرما (ابتدا روز ۲۷ دسامبر) با دمای  $2^{\circ}\text{C}$  است که زمان  $24^{\circ}\text{C}$  روی محور زمان می‌باشد و خاتمه گرم با دمای  $+3^{\circ}\text{C}$  که زمان  $48^{\circ}\text{C}$  روی محور زمان می‌باشد. از این‌رو ردیف ۳ جدول ۱ نیز پتانسیل بالای رخداد بهمن را نشان می‌دهد. نوع بارش بر اساس مدل پیش‌بینی عددی WRF برای روز ۲۷ دسامبر از نوع برف خفیف می‌باشد از این‌رو ردیف ۴ جدول ۱ در این مطالعه، پتانسیل نامشخص را برای رخداد بهمن نشان می‌دهد.

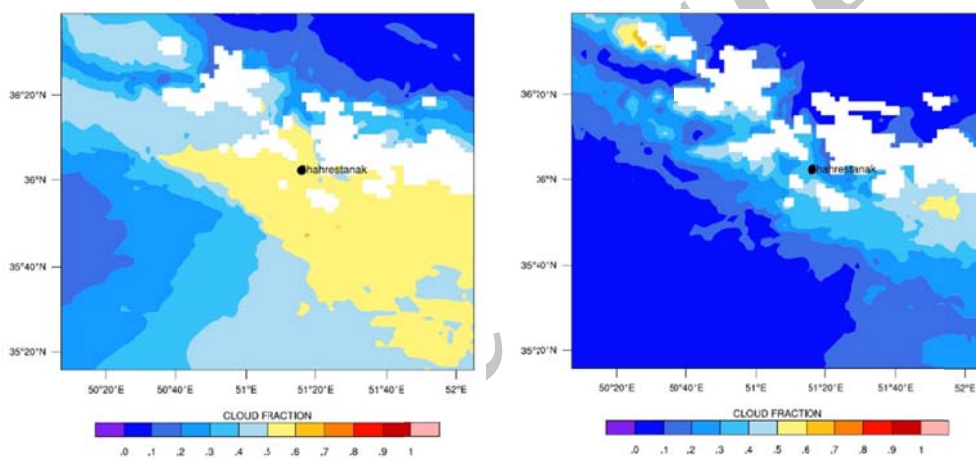
تغییرات دمای پیش‌بینی شده در ایستگاه شهرستانک طی روزهای ۲۶ تا ۲۸ دسامبر ۲۰۱۶، در نمودار شکل ۱۱ آمده است. همان‌گونه که در این شکل دیده می‌شود، تغییرات دما طی روزهای ۲۶ و ۲۷ دسامبر در بازه  $-4^{\circ}\text{C}$  تا  $-8^{\circ}\text{C}$  متغیر است (ساعت‌های ۱ تا ۴۸ نمودار) که تقریباً نزدیک به صفر درجه سلسیوس می‌باشد؛ اما روز بیست و هشتم تا نیز کاهش داشته است. دمای هوای روز ۲۷ دسامبر



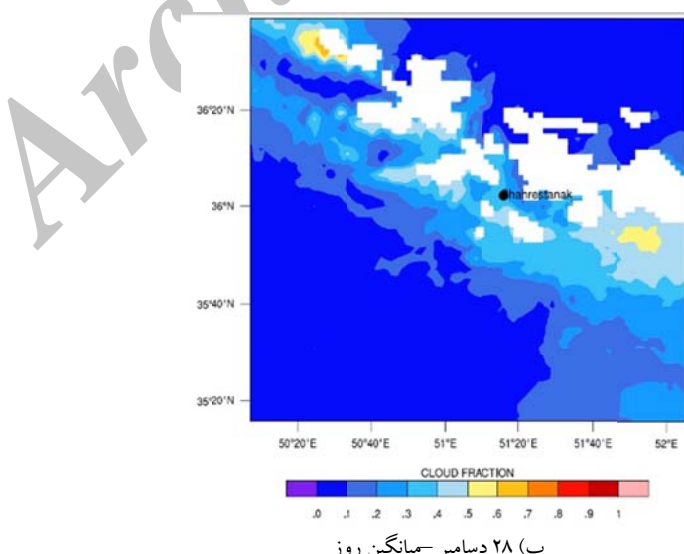
شکل ۱۰. تغییرات دمای پیش‌بینی شده نقطه شهرستانک از ساعت یکم روز ۲۶ دسامبر ۷۲ ساعت یا سه شب‌های روز.



شکل ۱۱. سرعت باد برای ساعت‌های ۰۰ و ۱۲ UTC در نقاط گچسر و کندوان از روز ۲۶ تا ۳۰ آم زانویه ۲۰۱۶.



الف) ۲۶ دسامبر - میانگین روز



پ) ۲۸ دسامبر - میانگین روز

شکل ۱۲. میانگین روزانه و شبانه پیش‌بینی میزان پوشش ابر پایین (تراز ۷۰۰ هکتوپاسکال) برای منطقه شهرستانک.

این رو بند سوم نیز چندان منطبق با شرایط پتانسیل بالای رخداد بهمن نیست. با توجه به اینکه ریزش بهمن در این منطقه تنها یکبار رخ داده است (خبرگزاری ایرنا، دی ماه ۱۳۹۵)، به نظر می‌رسد در مقایسه با شرایط رخدادهایی که طی ۲۴ ساعت ۳۰ ریزش بهمن گزارش می‌شود، چندان قوی نباشد. از سوی دیگر الگوهای همیدیدی حاکم بر منطقه نیز شرایط جوی مخاطره‌آمیزی را در منطقه مورد مطالعه نشان نمی‌دهد. از این رو پتانسیل نامشخص برای رخداد بهمن در این مطالعه، انتخاب خوبی است و موقع بهمن را می‌توان محتمل دانست نه قطعی. لذا پیش‌بینی پتانسیل ریزش بهمن بر اساس آستانه‌های تعریف شده در جدول اسپانگلر در این مطالعه هم‌خوانی دارد.

همان‌گونه که در این شکل دیده می‌شود در روز بیست و هفتم آسمان تقریباً نیمه‌ابری است (۰/۰۵ تا ۰/۶ آسمان ابری است) (شکل ۱۲-ب)؛ از این رو امکان جذب تابش امواج کوتاه در طول روز و سرد شدن زیاد در شب را ندارد (شکل ۱۲-الف و ۱۲-پ). نتایج این بررسی بر اساس جدول‌های اسپانگلر به صورت جدول ۵ خلاصه می‌شود. موارد مستخرج مریبوط به این مقاله رنگی شده‌اند. در این جدول، دیده می‌شود که شاخص باد نقشی در این رخداد ندارد. سایر موارد مرتبط، به جز بندهای ۲ و ۳ (ردیف‌های ۱، ۴ تا ۷ و ۱۱ و ۱۲) بر پتانسیل نامشخص رخداد بهمن دلالت می‌کنند. در بند سوم نیز حدود ۵ ساعت روند توفان نامنظم شده است که دقیقاً نمی‌توان بر پتانسیل بالای رخداد بهمن در این بند صحنه گذاشت. از

جدول ۵. بررسی تمامی شاخص‌های جدول‌های ۱ تا ۴ در یک نگاه برای مطالعه موردی ریزش بهمن ۲۶ تا ۲۹ دسامبر ۲۰۱۶.

ردیف	شاخص بارش	پتانسیل بالا برای رخداد بهمن	پتانسیل نامشخص برای رخداد بهمن	پتانسیل کم برای رخداد بهمن
۱	مقادیر برف تازه	۳۰ سانتی‌متر یا بیشتر در ۲۴ h	کمتر از ۳۰ سانتی‌متر در ۲۴ h	برف تازه نباریده است
۲	آب معادل برف	۲۵ میلی‌متر یا بیشتر در ۲۴ h	کمتر از ۲۵ میلی‌متر در ۲۴ h	آب معادل برف تازه موجود نیست
۳	رونده توفان	شروع سرد و پایان گرم	شروع گرم و پایان سرد	دما در محدوده -۳ تا -۷ °C
۴	باران	رخداد هر نوع باران	بدون باران	بدون باران
۵	افزایش دما	افزایش بیش از ۸ °C در ۱۲ h	افزایش کمتر از ۸ °C در ۱۲ h	افزایش تدریجی دما طی چند روز (زیر ۰°C صفر)
۶	کاهش دما	-	ماندگاری دما بین -۴ تا -۱۰ °C ندارد	کاهش دما در بی‌دما گرم موجود
۷	دهماهی گرم	بالای دمای یخ‌بندان برای بیشتر از ۲۴ h	بالای دمای یخ‌بندان برای ۱۲ تا ۲۴ h	-
۸	دهماهی سرد	دهماهی بسیار سرد(کمتر از ۰°C (-۱۰))	ماندگاری دما بین -۱۰ تا -۴ °C	-
۹	میانگین سرعت باد	۹ تا ۲۷ متر بر ثانیه	کمتر از ۹ یا بیشتر از ۲۷ متر بر ثانیه	آرام و کمتر از ۷ متر بر ثانیه
۱۰	میانگین سمت باد	ثابت	متغیر	متغیر
۱۱	پوشش آسمان	آسمان‌های صاف با دمای کمتر از ۱۰ °C و بادهای m/s ۵ یا کمتر	-ابری -آسمان صاف با دماهای نسبتاً خوب -نیمه‌ابری همراه با باد بیشتر از ۵ m/s	-
۱۲	پوشش آسمان	آسمان‌های صاف یا ابرهای نازک با دماهای گرم، بهویژه در شب در روز	تمام ابری صخیم	-

## ۵. نتیجه‌گیری

این مطالعه با هدف تهیه پیش‌بینی بهمن به کمک مدل‌های پیش‌بینی عددی انجام شده است. از آنجا که داده‌های دیدبانی سازمان هواشناسی در مناطق کوهستانی ناچیز است، دسترسی به اطلاعات برف در اندازه‌گیری‌های زمینی چندان میسر نیست و به نظر می‌رسد بروندادهای مرتبط مدل‌های پیش‌بینی عددی، راه حل مناسبی برای حدس اولیه رخداد بهمن باشد. به همین منظور در این مطالعه سه مورد رخداد بهمن برای بازه زمانی ۲۶ تا ۲۹ دسامبر ۲۰۱۶ که در محدوده شهرستانک جاده چالوس رخ داده‌اند به صورت موردی، ابتدا بررسی همدیدی شده و سپس بروندادهای آب معادل برف، ضخامت برف، دما و باد مدل پیش‌بینی عددی بر اساس جدول‌های طبقه‌بندی شده اسپانگلر به منظور تعیین پتانسیل رخداد بهمن مطالعه شده‌اند.

بررسی شرایط همدیدی با استفاده از داده‌های ERA Intrim در گام زمانی ۶ ساعته انجام شده است. سپس به صورت روزانه میانگین گیری شده‌اند. همچنین، با استفاده از نسخه ۳,۹ مدل عددی میانمقیاس WRF، شبیه‌سازی پارامترهای جوی به مدت چهار روز انجام گرفت. حوزه‌های شبیه‌سازی برای اجرای مدل به صورت سه حوزه تو در تو آمده شدند و دقت تفکیک مکانی برای این سه حوزه به ترتیب ۱۸، ۶ و ۲ کیلومتر انتخاب شدند.

برای بررسی پیش‌بینی پتانسیل وقوع بهمن، از روش اسپانگلر و همکاران استفاده شده است. در این روش سه دیدگاه، شرایط اقلیمی منطقه، وضع هوای حاضر و پیش‌بینی وضع هوای در کنار هم بررسی می‌شوند و امکان وقوع بهمن را پیش‌بینی می‌کند. در این مطالعه به منظور بررسی بروندادهای مرتبط مدل پیش‌بینی عددی، تنها بخش سوم لحاظ می‌شود. در این بخش بروندادهای دما، بارش، ابرناکی و باد همچنین آب معادل برف، ضخامت برف، روند توفان (بر اساس تغییرات دما) و نوع بارش پس از برف، مشخصه‌هایی هستند که آستانه‌های آنها برای سه

حالت پتانسیل بالا، پتانسیل پایین و پتانسیل نامشخص برای رخداد بهمن توسط اسپانگلر تعیین و شناسایی شده‌اند. برای پیش‌بینی شرایط هواشناسی ریزش بهمن در نظر گرفته شده است.

مطالعه همدیدی الگوهای فشار تراز دریا، ضخامت ۱۰۰۰/۵۰۰، ارتفاع ژئوپتانسیل ترازهای ۸۵۰ و ۷۰۰ و ۵۰۰ میلی‌بار همراه با مشخصه‌های سرعت قائم (در تراز ۷۰۰)، تاوایی نسبی (در تراز ۵۰۰) و رطوبت نسبی، باد و دما (در تراز ۸۵۰) برای بررسی همدیدی در نظر گرفته شدند. این بررسی نشان داد زبانهای سامانه پرفشار سیبری روی منطقه حاکم شده اما فشار هوا از ۱۰۲۲ بیشتر نیست. در تراز ۵۰۰ هکتوپاسکال جریان‌های مداری در حال گذار از روی منطقه است و موج ضعیفی از شرق مدیترانه آغاز شده و از نوار شمالی ایران عبور می‌کند. تغییرات تاوایی نسبی در این تراز چندان قابل توجه نیست. در تراز ۸۵۰ هکتوپاسکال نیز رطوبت از دریای مدیترانه و سرخ به داخل کشور تزریق می‌شود اما دوره عمر آن کوتاه است. بررسی مقادیر آستانه‌ای جدول اسپانگلر نیز معرف پتانسیل نامشخص رخداد بهمن است؛ زیرا مطالعه موردنی انتخاب شده شرایط جوی قابل توجهی برای رخداد بهمن ندارد و در دوره ۲۴ ساعت تنها یک مرتبه در منطقه مورد مطالعه بهمن سقوط کرده است. از این‌رو جدول ۵ نیز شرایط پتانسیل نامشخص را شناسایی کرده است که به نظر می‌رسد با واقعیت تطابق دارد. آستانه‌های بدست‌آمده در این مطالعه شامل سرعت باد کمتر از  $9 \text{ m/s}$ ، بارش برف کمتر از  $30 \text{ سانتی متر در ۲۴ ساعت}$ ، افزایش دمای کمتر از  $8^\circ\text{C}$  در ساعت، عدم ماندگاری دما در محدوده  $-4 \text{ to } -10^\circ\text{C}$  و آسمان نیمه‌ابری در طول روز بدون بارش باران می‌باشد که بر احتمال رخداد بهمن و نه قطعیت آن تأکید دارد و برای پیش‌بینی پتانسیل بالای وقوع بهمن، آستانه‌های جوی باید بالاتر از مقادیر یاد شده باشند. لازم به ذکر است به منظور اجرای عملیاتی پیش‌بینی بهمن به کمک جدول اسپانگلر، باید ابتدا شرایط اقلیمی منطقه از لحاظ

شده است و به نظر می‌رسد نتیجه به دست آمده قابل قبول باشد.

### مراجع

- تاج‌بخش، س.، رهنما، م. و نیک‌فال، الف. ح.، ۱۳۹۷، مقایسه پوشش برف بین برونداد یک مدل پیش‌بینی عددی و داده‌های سنجنده MODIS در ایران، نشریه تحقیقات منابع آب (زیر چاپ).
- Armstrong, R. L. and Brun, E. (Eds.), 2010, Snow and Climate. Cambridge University Press, 222 pp.
- Bartelt, P. B. and Lehning, M., 2002, A physical SNOWPACK model for avalanche warning. Part I: Numerical model. *Cold Reg. Sci. Technol.*, 35, 123–145
- Brun, E., David, P., Sudul, M. and Brunot, G., 1992, A numerical model to simulate snow-cover stratigraphy for operational avalanche forecasting. *J. Glaciol.*, 38, 13–22.
- Brun, E., Martin, E., Gendre, V. S. C. and Coleou, C., 1989, An energy and mass model of snow cover suitable for operational avalanche forecasting. *J. Glaciol.*, 35, 333–342.
- Comiso, J., Cavalieri, D. and Markus, T., 2003, Sea ice concentration, ice temperature, and snow depth using AMSR-E data. *IEEE Trans. Geosci. Remote Sens.*, 41, 243–252.
- Cox, S. and Fulsaas, K., 2003, The freedom of the hills Mountaineers Books Mountaineers (Society) Edition 7, illustrated The Mountaineers Books, ISBN 978-0-89886-827-2, pages 346, 347.
- Dee, D. P., Uppala, S. M., Simmons, A. J., Berrisford, P., Poli, P., Kobayashi, S. and Vitart, F., 2011, The ERA-Interim reanalysis: Configuration and performance of the data assimilation system. *Quarterly Journal of the Royal Meteorological Society*, 137(656), 553–597. <http://doi.org/10.1002/qj.828>
- Ducharm, P., Houdayer, A. Y., Choquette, Y., and Kapfer, B., 2015, Numerical Simulation of Terrestrial Radiation over a Snow Cover, *Journal of Atmospheric and Oceanic Technology*, 32, 1478, 1485.
- Etchevers, P. and Martine, E., Brown, R., Fierz, Ch., Lejeune, Y. and Bazili, E., 2004, Validation of the energy budget of an alpine snowpack simulated by several snow models (SnowMIP project). *Ann. Glaciol.*, 38, 150–158.
- Frei, A., Brown, R., Miller, J. A. and Robinson, D. A., 2005, Snow mass over North America: Observations and results from the second phase of the atmospheric model intercomparison project. *J. Hydrometeor.*, 6, 681–695.
- Gustafsson, D., Stahli, M. and Jansson, P. E., 2001, The surface energy balance of a snow cover: Comparing measurements to two different simulation models. *Theor. Appl. Climatol.*, 70, 81–96.
- Iacono, M., Mlawer, E., Collins, W., 2008, RTMIP Forcing for the AER Models and Status of the RRTMG Applications, Oral presentation at the ARM Radiative Process Working Group Meeting, Princeton, New Jersey.
- Janjic Zavisa, I., 1994, The Step–Mountain Eta Coordinate Model: Further developments of the convection, viscous sublayer, and turbulence closure schemes. *Mon. Wea. Rev.*, 122, 927–945.
- Janjic, Z. I., 2002, Nonsingular implementation of the Mellor–Yamada Level 2.5 Scheme in the NCEP Meso model. *NCEP Office Note No. 437*, 61 pp.
- Kottke, M., 2011, Comments on: 'The thermal zones of the Earth' by Wladimir Köppen (1884) . *Meteorologische Zeitschrift*. 20(3): 361–365.
- Lehning, M., Bartelt, P. Brown, B. and Fierz, C., 2002, A physical SNOWPACK model for the Swiss avalanche warning: Part III: Meteorological forcing, thin layer formulation and evaluation. *Cold Reg. Sci. Technol.*, 35, 169–184.
- Male, D. H., and Granger, R. J. 1981, Snow surface energy exchange. *Water Resour. Res.*, 17, 609–627.
- Marty, C. and Meister, R., 2012, Long-term snow and weather observations at Weissfluhjoch and its relation to other high-altitude observatories in the Alps. *Theoretical and Applied Climatology*: 1–11. doi:10.1007/s00704-012-0584-3.
- Mlawer, E. J., Taubman, S., J. Brown, P. D. Iacono, M. J. and Clough, S. A., 1997, Radiative transfer for inhomogeneous

دما و رطوبت، جنس زمین، نوع بسته برف، اقلیم بهمن و غیره شناخته شود؛ سپس شرایط فعلی حاکم بر منطقه مانند دما، باد، فشار، بهمن‌های اخیر انواع بارش‌های برف یا باران و غیره شناسایی شود و در نهایت به کمک مدل پیش‌بینی عددی پتانسیل رخداد بهمن شناسایی شود که در این مقاله تنها بخش سوم آن در یک مطالعه موردنی، بهمنظور شناسایی دقت مدل پیش‌بینی عددی و امکان استفاده از جدول اسپانگلر برای بررسی رخداد بهمن انجام

- atmospheres: RRTM, a validated correlated-k model for the longwave. *J. Geophys. Res.*, 102, 16663–16682.
- Pulliainen, J., 2006, Mapping of snow water equivalent and snow depth in boreal and subarctic zones by assimilating spaceborne microwave radiometer data and ground-based observations. *Remote Sens. Environ.* 101, 257–269.
- Rinen, O., Eerola, K., Siljamo, N. and Koskinen, 2008, Comparison of Snow Cover from Satellite and Numerical Weather Prediction Models in the Northern Hemisphere and Northern Europe, *Journal of applied meteorology and climatology*, 49, 1199-1216.
- Roeger, C., McClung, D. Stull, R. Hacker, J. and Modzolewski, H., 2001, A verification of numerical weather forecasts for avalanche prediction. *Cold Reg. Sci. Technol.*, 33, 189–205.
- Roeger, C., McClung, D. Stull, R. Hacker, J. and Modzolewski, H., 2003, Weather and Forecasting, 18(6), 1140-1160.
- Schirmer, M., Wirz, V., Clifton, A. and Lehning, M., 2011, Persistence in intra-annual snow depth distribution:Measurements and topographic control., *Water Resources Research*, Vol. 47, W09516,doi:10.1029/2010WR009426.
- Serquet, G., Marty, C. and Rebetez, M., 2013, Monthly trends and the corresponding altitudinal shift in the snowfall/precipitation day ratio, *Theoretical and Applied Climatology*, doi: 10.1007/s00704- 013-0847-7.
- Spangler, T., 2015, Snowpack assessment, <http://www.meted.ucar.edu/afwa/snowpack/contrib.htm>.
- Sturm, M., Holmgren, J. and Liston, G., 1995, A Seasonal Snow Cover Classification System for Local to Global Applications, *Journal of Climate*, 8, 1261-1283.
- Sturm, M., Taras, B., Liston, G., Derksen, C., Jonats, T. and Lea, J., 2010, Estimating Snow Water Equivalent Using Snow Depth Data and Climate Classes, *Journal of Hydrometeorology*, 11, 1380-1394.
- Tewari, M., Chen, F., Wang, W., Dudhia, J., LeMone, M. A., Mitchell, K., Ek, M., Gayno, G., Wegiel, J. and Cuenca, R. H., 2004, Implementation and verification of the unified NOAH land surface model in the WRF model. 20th Conference on weather analysis and forecasting/16th conference on numerical weather prediction, pp. 11–15.
- Thompson, G., Field, P., Rasmussen, R. and Hall, W., 2008, Explicit Forecasts of Winter Precipitation Using an Improved Bulk Microphysics Scheme. Part II: Implementation of a New Snow Parameterization. *Mon. Wea. Rev.*, 136, 5095–5115.
- Tiedtke, M., 1989, A comprehensive mass flux scheme for cumulus parameterization in large-scale models. *Mon. Wea. Rev.*, 117, 1779–1800.

## Avalanche potential forecast using a numerical weather predicton model, (Case study: Shahrestanak zone, 26-28 December 2016)

Tajbakhsh, S.<sup>1\*</sup> and Nikfal, A. H.<sup>2</sup>

1. Assistant Professor, Atmospheric Survey Research Group, Atmospheric Science and Meteorological Research Center (ASMERC), Tehran, Iran

2. Meteorology expert, Atmospheric Science and Meteorological Research Center (ASMERC), Tehran, Iran

(Received: 22 Nov 2017, Accepted: 15 May 2018)

### Summary

Avalanches are likely to happen in winter time mountainous regions of Iran, and its timely prediction can help to improve the road traffic safety. The aim of this study is to provide the avalanche first guess using Numerical Weather Prediction (NWP) model outputs. Since the meteorological observations in mountainous areas are very scarce, access to snow data in ground measurements is not feasible; it seems that making use of numerical models to simulate the associated data and predicting the avalanche first guess may be a reliable method. For this purpose, three avalanche events which occurred in Chalous Road (Kanduan-Gachsar) were investigated synoptically as the case studies. Then the precipitation (water equivalent to snow, snow thickness), temperature and wind outputs of Weather Research and Forecasting (WRF) model were analysed based on the Spangler classification tables in order to determine the potential of avalanche events.

Snow density, snow water equivalent and snow depth are the most important factors of snow cover that have fundamental applications in predicting avalanche and flood events. The predictions in this study are based on the WRF model numerical simulations. Spangler et al. (2009) presented a model for estimating the avalanche potential based on the three components of the region's climatic conditions, present weather survey and forecasting avalanche indices. For verification of the model, the threshold values for precipitation, temperature and wind were calculated in Colorado. In the present study, only the third part of the Spengler method (prediction of avalanche occurrence potential) was applied to make the first guess of avalanche potential occurrence in the mountainous regions of the country. The period 26 -29 December 2016 for heavy snow conditions with multiple avalanche was considered as a case study. The area under study is the Shahrestanak (36, 10 °N and 51.31° E) on the Chalous road, which experienced more than 10 avalanche events during winter 2016. Its elevation is about 2230 to 2240 meters and is located in Alborz Province. There are similar climatic conditions in the two regions of Colorado and Alborz based on the Gutten climate classification but their temperature and type of snowpack are different according to the Sturm snowpack classification. The type of snowpack in the Colorado area is prairie (thin and moderate cold snow covering with substantial wind drifting, with the maximum depth of about 1 meter), while the type of snowpack in Alborz area is ephemeral (thin and warm snow that melts down soon and its depth is between zero to 50 cm). Hence, it seems that the thresholds of the meteorological indicators related to avalanche potential in Alborz region could be slightly lower than its thresholds in Colorado area. The synoptic study was done using the mean daily ERA-Intrrim data. In the present study, the patterns of sea level pressure, thickness of 500/1000 hPa, geopotential heights and temperature with relative vorticity of 500 hPa, vertical velocity at 700 hPa, as well as relative humidity and winds of 850 hPa were studied in order to identify the weather conditions during the avalanche period. Also, using the WRF meso-scale model (ver. 3.9), the simulation of atmospheric condition is conducted for 4 days (26-29 December 2016). Temperature, wind, cloudiness, snow thickness, snow water equivalent and snow cover (the most important indicators of avalanche) were determined using the WRF numerical prediction model. Then the potential of avalanches' occurrence was investigated according to the Spengler model.

Here, we attempt to investigate the potential of avalanche event in a case study using a NWP model and determine the probability of occurrence of avalanche based on one of the existing methods. The case study was selected in such a way that no significant atmospheric conditions were observed in the area. There was only one case of avalanche over 24 hours in the Chalous Road, Shahrestanak position. The results showed that the patterns of weather forecasting in this study are in agreement with actual weather conditions and there is no specific feature for avalanche occurrence in these patterns. The presented thresholds for the avalanche potential have good match in this case study. Winds of less than 9 m/s, snow depth of less than 30 cm in 24 hours, temperature of less than 8 °C in 12 hours, unstable temperature in the range of -4 to -10°C, and cloudy sky during the day without rain emphasize the probability of avalanche and not its certainty. To predict the high potential for avalanche, the atmospheric thresholds should be higher than these values.

**Keywords:** Snowpack, Snow depth, Snow water equivalent, Avalanche, WRF numerical weather prediction.

\* Corresponding author:

sahartajbakhsh@gmail.com